

# 精细化工<sup>®</sup>

## FINE CHEMICALS

- 入选中国科技期刊卓越行动计划
- EI、CSCD、中文核心、北大核心等权威数据库收录
- 国内精细化工行业创刊最早的权威期刊
- 中国化工学会精细化工专业委员会会刊

### 知网首发

稿件一经录用，中国知网可查询，并由编辑部与知网共同出具网络首发证书。

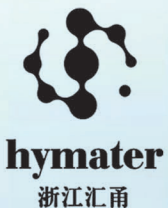
### 报道范围

涵盖当代中国精细化工科学与工业的众多新兴领域。如：功能材料、能源化工、生物工程、中药现代化技术、环境保护、食品化学品、油田化学品、表面活性剂、医药与日化原料等。



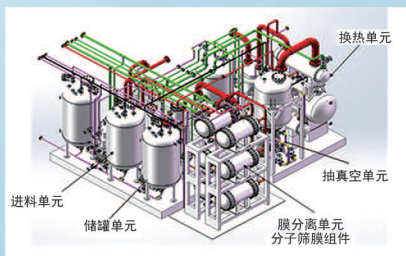
扫描二维码关注我们

### 《精细化工》编辑部



浙江汇甬新材料有限公司

# 微波合成第二代脱水膜

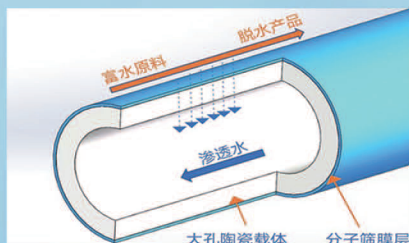


国家自然科学二等奖 成果转化

I ChemE 全球 创新产品冠军

微波分子筛膜 脱水性能遥遥领先

共沸体系、热敏体系、含水有机物脱水精制换代技术



收率高、能耗低、连续脱水、无需再生

在如下领域的有机物脱水精制已有工业化应用

锂电池电解液溶剂及NMP生产、回收

BDO产业链、煤化工、石油化工精细化学品

制药行业、溶媒回收、燃料乙醇、超纯溶剂

广泛适用于醇类、醚类、酯类、酮类、苯系物、卤代烃的脱水精制



固定电话：0574-87648996 电话：13396592011

网址：[www.hymater.com](http://www.hymater.com) 地址：浙江省宁波市江北高新区庆丰路联东U谷国际港56号楼

医药与日化原料

# $\beta$ -咔啉杂合咪唑类化合物的合成 及体外抗肿瘤活性

陈亮<sup>1</sup>, 郭亮<sup>1</sup>, 肖艳博<sup>1</sup>, 马芹<sup>2</sup>, 陈伟<sup>2</sup>, 张洁<sup>1\*</sup>

(1. 石河子大学 化学化工学院 新疆兵团化工绿色过程重点实验室, 新疆 石河子 832003; 2. 新疆华世丹药物研究有限责任公司, 新疆 乌鲁木齐 830011)

**摘要:** 以 L-色氨酸为原料, 经 Pictet-Spengler 环化反应、氧化脱羧、 $N^9$ -烷基化等反应步骤, 合成了一系列  $\beta$ -咔啉杂合咪唑类化合物。目标化合物经  $^1\text{H}$ NMR、 $^{13}\text{C}$ NMR 和 HRMS 确证结构。采用 MTT (噻唑蓝) 法检测了目标化合物对肺癌细胞 (A-549)、胃癌细胞 (BGC-823)、结肠癌细胞 (CT-26)、肝癌细胞 (Bel-7402) 和乳腺癌细胞 (MCF-7) 的体外抗肿瘤活性。结果表明, 大部分化合物对这 5 种肿瘤细胞株表现出了中等及优良的抑制活性。特别是 3-苄基-11-(3-苯基丙基)-11H-咪唑并[1',5':1,2]吡啶并[3,4-b]吲哚 (V r) 对 CT-26、Bel-7402 和 MCF-7 细胞株的体外抗肿瘤活性较高, 对应的半数抑制浓度 ( $IC_{50}$ ) 分别为  $(9.5 \pm 0.4)$ 、 $(7.4 \pm 0.3)$  和  $(8.8 \pm 0.6)$   $\mu\text{mol/L}$ 。分子对接结果表明, 3-苄基-11-甲基-11H-咪唑并[1',5':1,2]吡啶并[3,4-b]吲哚 (V a)、3-苄基-11-丁基-11H-咪唑并[1',5':1,2]吡啶并[3,4-b]吲哚 (V f) 和 V r 与 VEGFR2 激酶的多个氨基酸残基具有良好的结合作用。

**关键词:**  $\beta$ -咔啉杂合咪唑; 合成; 抗肿瘤; 构效关系; 分子对接; 医药原料

中图分类号: O626; R979.1 文献标识码: A 文章编号: 1003-5214 (2024) 04-0881-09

## Synthesis and *in vitro* antitumor activity of $\beta$ -carboline hybrid imidazole derivatives

CHEN Liang<sup>1</sup>, GUO Liang<sup>1</sup>, XIAO Yanbo<sup>1</sup>, MA Qin<sup>2</sup>, CHEN Wei<sup>2</sup>, ZHANG Jie<sup>1\*</sup>

(1. Key Laboratory for Green Processing of Chemical Engineering of Xinjiang Bingtuan, School of Chemistry and Chemical Engineering, Shihezi University, Shihezi 832003, Xinjiang, China; 2. Xinjiang Huashidan Pharmaceutical Research Co., Ltd., Urumqi 830011, Xinjiang, China)

**Abstract:** A series of  $\beta$ -carboline hybrid imidazole compounds were synthesized from L-tryptophan by Pictet-Spengler cyclization, oxidative decarboxylation and  $N^9$ -alkylation, and then characterized by  $^1\text{H}$ NMR,  $^{13}\text{C}$ NMR and HRMS. The *in vitro* antitumor activities of  $\beta$ -carboline hybrid imidazole derivatives against five cancer cell lines of lung cancer cells (A-549), stomach cancer cells (BGC-823), colon cancer cells (CT-26), liver cancer cells (Bel-7402), and breast cancer cells (MCF-7) were evaluated using thiazolylblue (MTT) method. The results showed that most of the compounds exhibited moderate to excellent activity against the tested cancer cell lines. Especially, 3-benzyl-11-(3-phenylpropyl)-11H-imidazo[1',5':1,2]pyrido[3,4-b]indole (V r) showed the most potent anti-proliferative activity against CT-26, Bel-7402, and MCF-7 cell lines with corresponding median inhibitory concentration ( $IC_{50}$ ) of  $(9.5 \pm 0.4)$ ,  $(7.4 \pm 0.3)$ , and  $(8.8 \pm 0.6)$   $\mu\text{mol/L}$ , respectively. Molecular docking results revealed that 3-benzyl-11-methyl-11H-imidazo[1',5':1,2]pyrido[3,4-b]indole (V a), 3-benzyl-11-butyl-11H-imidazo[1',5':1,2]pyrido[3,4-b]indole (V f), and V r had a good binding effect on several amino acid residues of VEGFR2 enzyme.

**Key words:**  $\beta$ -carboline hybrid imidazoles; synthesis; antitumor; structure-activity relationship; molecular docking; drug materials

收稿日期: 2023-05-11; 定用日期: 2023-07-17; DOI: 10.13550/j.jxhg.20230386

基金项目: 国家自然科学基金项目 (22067017); 兵团指导性计划项目 (2022ZD019); 兵团第二师科技重大专项 (2021SF01)

作者简介: 陈亮 (1997—), 女, 硕士生, E-mail: chenliang9792@outlook.com。联系人: 张洁 (1982—), 女, 教授, E-mail: zhangjie-xj@163.com。

中国恶性肿瘤发病、死亡数持续上升，每年恶性肿瘤所致的医疗花费超过 2200 亿元。研究表明，2020 年全球死亡人数已经超过 996 万，预计到 2030 年，全球死亡人数将升至 1500 万<sup>[1]</sup>。虽然，癌症治疗取得了一些进展，但化疗仍是大多数癌症最重要的治疗方法。尽管，近年在癌症治疗方面取得了巨大进步，但抗癌药物的消耗仍然居高不下<sup>[2]</sup>，且在治疗过程中会受到系统毒性、低选择性和耐药性等因素的限制<sup>[3-4]</sup>。因此，开发出具有更好疗效的新型抗癌药物迫在眉睫。

$\beta$ -咔啉生物碱是一类结构多样的天然和合成化合物<sup>[5]</sup>，这种骨架化合物具有多种药理活性，如抗肿瘤、抗焦虑、抗疟疾、抗艾滋病病毒（HIV）、抗菌和抗利什曼原虫等<sup>[6-17]</sup>。这些生物碱大部分通过与 DNA 结合，抑制拓扑异构酶 I 和 II、细胞周期蛋白依赖性激酶（CDK）、驱动蛋白样蛋白（Eg5）、polo-like 激酶（PLK1）和细胞周期素依赖性激酶 4（CDK4）等，而表现出强大的抗癌活性<sup>[18-22]</sup>。DIGHE 等<sup>[23]</sup>报道，基于  $\beta$ -咔啉的 N-杂环卡宾对人类乳腺癌 MDA-MB-231 细胞具有显著的抗增殖活性。CHANIYARA 等<sup>[24]</sup>发现，双(羟甲基)中氮茚并[6,7-*b*]吲哚通过 DNA 交联和抑制拓扑异构酶 I、II 表现出强大的抗肿瘤活性。此外，咪唑并[1,2-*a*]吡啶是药物化学中的一种特殊骨架，具有广泛的生物活性<sup>[25-26]</sup>。具有烷基/烯基或芳基取代基的官能化咪唑并[1,2-*a*]吡啶类化合物的生物特征也被广泛研究<sup>[27]</sup>。最近，DENG 等<sup>[28]</sup>设计并合成了一系列咪唑并[1,2-*a*]吡嗪衍生物作为 Gαq/11 抑制剂，发现咪唑并[1,2-*a*]吡嗪衍生物 GQ352 对葡萄膜黑色素瘤（UM）细胞具有选择性抗增殖活性。

研究表明，在  $\beta$ -咔啉环的 1 位引入取代基会增强其抗肿瘤能力，N<sup>2</sup>-烷基化的  $\beta$ -咔啉衍生物显示出特有的细胞毒性活性。在本课题组之前的工作中，已合成了一系列苯并咪唑- $\beta$ -咔啉、苯并咪唑桥连的双- $\beta$ -咔啉衍生物、苯并噻唑- $\beta$ -咔啉化合物和 5-氯-6-烷氨基- $\beta$ -咔啉等化合物，并表现出很好的生物活性<sup>[29-31]</sup>。因此，为了考察在  $\beta$ -咔啉环的 1 位和 2 位引入取代基对抗肿瘤活性的影响，本文在前期研究基础上，在 1 位和 2 位形成一个咪唑环，合成了一系列  $\beta$ -咔啉 N<sup>2</sup>-杂合咪唑衍生物，并探究了它们对 MCF-7（乳腺癌）、A-549（肺癌）、BGC-823（胃癌）、CT-26（结肠癌）和 Bel-7402（肝癌）5 种癌细胞的体外抗增殖活性，以期从中能够发现高效、低毒、结构相对简单且又具优良活性的  $\beta$ -咔啉衍生物。

## 1 实验部分

### 1.1 试剂与仪器

溴化苄、碘甲烷、碘代正丁烷、1-溴-3-苯基丙烷、二氧化硒（SeO<sub>2</sub>）、氢化钠（NaH）、碘（I<sub>2</sub>）、L-色氨酸、L-苯丙氨酸、L-缬氨酸、L-甲硫氨酸、L-亮氨酸、L-异亮氨酸、L-苏氨酸、L-苯甘氨酸，上海泰坦科技股份有限公司；乙醛、二氧化锰（MnO<sub>2</sub>），分析纯，上海麦克林生化科技股份有限公司；浓硫酸（质量分数 98%）、N,N-二甲基甲酰胺（DMF）、二甲基亚砜（DMSO），化学纯，国药集团化学试剂有限公司；3-(4,5-二甲基噻唑-2)-2,5-二苯基四氮唑溴盐（MTT），Sigma Aldrich 公司。其余所用试剂均为市售化学纯或分析纯。

细胞株：Bel-7402、A-549、CT-26、MCF-7，中科院上海细胞库；BGC-823，新疆医科大学赠送。

Bruker Avance III HD 400 型核磁共振波谱仪、Bruker D8 Venture 型单晶 X 射线衍射仪，瑞士 Bruker 公司；Q Exactive 型高分辨质谱仪，美国 Thermo Scientific 公司；RV-8 型旋转蒸发仪，艾卡（广州）仪器设备有限公司；X-5 型显微熔点测定仪，北京泰克仪器有限公司；iMark 型酶标仪，美国 BIO-RAD 公司。

### 1.2 化合物合成

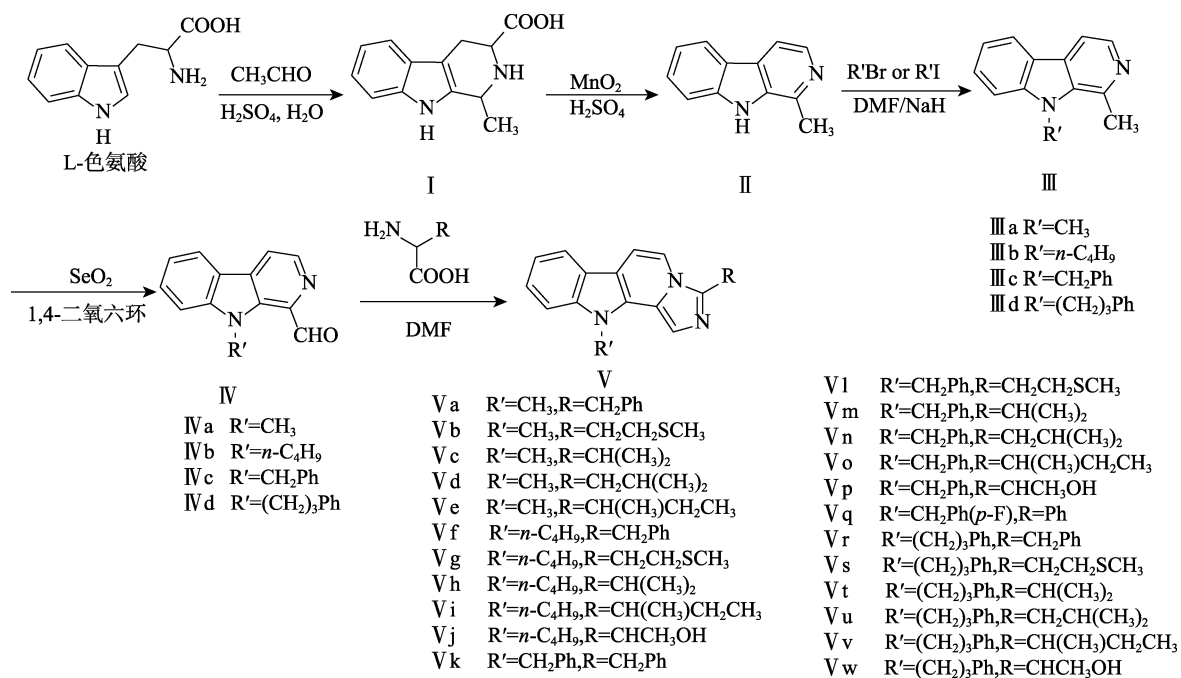
#### 1.2.1 中间体的制备

中间体化合物 II、IIIa~d（用碘甲烷、碘代正丁烷合成 IIIa~b，用溴化苄、1-溴-3-苯基丙烷合成 IIIc~d）和 IVa~d 的合成方法参考文献[29-31]。

#### 1.2.2 目标化合物（V）的制备

以 V<sub>a</sub> 合成为例，将 I<sub>2</sub> 0.26 g（1.0 mmol）加入盛有 DMF（15 mL）的三口瓶中，室温下搅拌 15 min 后，加入碳酸氢钠 0.22 g（2.0 mmol）、L-苯丙氨酸 0.18 g（1.1 mmol）和 9-甲基-1-甲酰基- $\beta$ -咔啉 0.21 g（1.0 mmol）。升温至 60 ℃，将混合物置于空气中搅拌反应，同时用薄层色谱法监测反应过程，展开剂为 V（二氯甲烷）：V（甲醇）=10：1，254 nm 紫外灯下观察反应斑点位置。反应完成后，将溶液冷却至室温，倒入水中（100 mL），生成黄色沉淀，过滤，将沉淀溶解在乙酸乙酯（50 mL）中。有机相用水和饱和食盐水洗涤 3 次，无水硫酸钠干燥，抽滤，所得滤液减压蒸除溶剂，得到粗产物。经硅胶柱层析纯化，以 V（乙酸乙酯）：V（正己烷）=3：1~1：1 为洗脱液，减压浓缩，得到目标产物 V<sub>a</sub>。替换不同溴代物或碘代物与不同取代基的氨基酸，按照上述合成方法进行反应，获得化合物 V<sub>b</sub>~V<sub>w</sub>。

目标化合物 V<sub>a</sub>~V<sub>w</sub> 的合成路线如下所示。



3-苯基-11-甲基-11*H*-咪唑并[1',5':1,2]吡啶并[3,4-*b*]吲哚(**V a**): 棕色固体, 收率 51%, m.p. 167.1~168.4 °C。<sup>1</sup>HNMR (400 MHz, DMSO-*d*<sub>6</sub>), δ: 7.97 (d, *J* = 8.0 Hz, 1H), 7.88 (t, *J* = 3.6 Hz, 2H), 7.66 (d, *J* = 8.0 Hz, 1H), 7.38~7.33 (m, 2H), 7.32~7.25 (m, 4H), 7.24~7.18 (m, 2H), 4.50 (s, 2H), 4.15 (s, 3H)。<sup>13</sup>CNMR (100 MHz, DMSO-*d*<sub>6</sub>), δ: 139.5, 139.0, 137.7, 129.8, 128.9, 128.8, 126.9, 123.8, 122.9, 122.7, 120.4, 119.5, 117.2, 115.0, 110.3, 108.6, 107.4, 32.9, 31.9。HRMS (ESI), C<sub>21</sub>H<sub>18</sub>N<sub>3</sub>, *m/Z*: [M+H]<sup>+</sup>理论值 312.1495, 测试值 312.1492。

3-[2-(甲硫基)乙基]-11-甲基-11*H*-咪唑并[1',5':1,2]吡啶并[3,4-*b*]吲哚(**V b**): 棕色固体, 收率 52%, m.p. 145.7~146.9 °C。<sup>1</sup>HNMR (400 MHz, DMSO-*d*<sub>6</sub>), δ: 7.99 (d, *J* = 8.0 Hz, 1H), 7.97 (d, *J* = 7.6 Hz, 1H), 7.83 (s, 1H), 7.66 (d, *J* = 8.0 Hz, 1H), 7.40 (d, *J* = 7.2 Hz, 1H), 7.38~7.33 (m, 1H), 7.22 (t, *J* = 7.2 Hz, 1H), 4.14 (s, 3H), 3.34 (t, *J* = 7.6 Hz, 2H), 2.99 (t, *J* = 7.6 Hz, 2H), 2.12 (s, 3H)。<sup>13</sup>CNMR (100 MHz, DMSO-*d*<sub>6</sub>), δ: 139.4, 139.0, 129.7, 123.7, 123.0, 122.5, 120.4, 119.6, 116.9, 115.1, 110.3, 108.5, 107.2, 31.9, 31.4, 27.1, 15.2。HRMS (ESI), C<sub>17</sub>H<sub>18</sub>N<sub>3</sub>S, *m/Z*: [M+H]<sup>+</sup>理论值 296.1215, 测试值 296.1218。

3-异丙基-11-甲基-11*H*-咪唑并[1',5':1,2]吡啶并[3,4-*b*]吲哚(**V c**): 黄色固体, 收率 76%, m.p. 175.1~177.4 °C。<sup>1</sup>HNMR (400 MHz, DMSO-*d*<sub>6</sub>), δ: 8.00 (d, *J* = 7.6 Hz, 1H), 7.95 (d, *J* = 7.6 Hz, 1H), 7.80 (s, 1H), 7.67 (d, *J* = 8.4 Hz, 1H), 7.39 (d, *J* = 7.2 Hz, 2H), 7.38~7.33 (m, 1H), 7.25~7.20 (m, 1H), 4.15 (s, 3H), 3.58~3.47 (m, 1H), 1.37 (d, *J* = 6.8 Hz, 6H)。<sup>13</sup>CNMR (100 MHz, DMSO-*d*<sub>6</sub>), δ: 145.4, 139.0, 129.9, 123.6, 123.0, 122.3, 120.3, 119.5, 116.6,

114.9, 110.3, 108.4, 107.1, 31.9, 25.9, 21.1。HRMS (ESI), C<sub>17</sub>H<sub>18</sub>N<sub>3</sub>, *m/Z*: [M+H]<sup>+</sup>理论值 264.1495, 测试值 264.1496。

3-异丁基-11-甲基-11*H*-咪唑并[1',5':1,2]吡啶并[3,4-*b*]吲哚(**V d**): 棕色固体, 收率 52%, m.p. 100.0~102.3 °C。<sup>1</sup>HNMR (400 MHz, DMSO-*d*<sub>6</sub>), δ: 8.00 (d, *J* = 8.0 Hz, 1H), 7.97 (d, *J* = 7.2 Hz, 1H), 7.84 (s, 1H), 7.67 (d, *J* = 8.4 Hz, 1H), 7.39 (d, *J* = 7.2 Hz, 1H), 7.38~7.33 (m, 1H), 7.25~7.20 (m, 1H), 4.15 (s, 3H), 2.94 (d, *J* = 7.2 Hz, 2H), 2.25~2.15 (m, 1H), 0.97 (d, *J* = 6.4 Hz, 6H)。<sup>13</sup>CNMR (100 MHz, DMSO-*d*<sub>6</sub>), δ: 140.4, 139.0, 129.9, 123.7, 123.0, 122.3, 120.4, 119.5, 116.8, 115.2, 110.3, 108.3, 107.1, 35.4, 31.9, 27.6, 22.8。HRMS (ESI), C<sub>18</sub>H<sub>20</sub>N<sub>3</sub>, *m/Z*: [M+H]<sup>+</sup>理论值 278.1651, 测试值 278.1651。

3-仲丁基-11-甲基-11*H*-咪唑并[1',5':1,2]吡啶并[3,4-*b*]吲哚(**V e**): 棕色固体, 收率 73%, m.p. 97.9~99.2 °C。<sup>1</sup>HNMR (400 MHz, DMSO-*d*<sub>6</sub>), δ: 8.00 (dd, *J* = 7.6、3.6 Hz, 2H), 7.82 (s, 1H), 7.67 (d, *J* = 8.4 Hz, 1H), 7.38 (d, *J* = 7.2 Hz, 1H), 7.37~7.32 (m, 1H), 7.22 (t, *J* = 7.6 Hz, 1H), 4.15 (s, 3H), 3.41~3.33 (m, 1H), 1.99~1.64 (m, 2H), 1.34 (d, *J* = 6.8 Hz, 3H), 0.86 (t, *J* = 7.2 Hz, 3H)。<sup>13</sup>CNMR (100 MHz, DMSO-*d*<sub>6</sub>), δ: 144.8, 139.0, 129.9, 123.6, 123.0, 122.2, 120.3, 119.5, 116.8, 115.0, 110.3, 108.3, 107.1, 32.4, 31.9, 28.5, 19.0, 12.1。HRMS (ESI), C<sub>18</sub>H<sub>20</sub>N<sub>3</sub>, *m/Z*: [M+H]<sup>+</sup>理论值 278.1651, 测试值 278.1647。

3-苄基-11-丁基-11*H*-咪唑并[1',5':1,2]吡啶并[3,4-*b*]吲哚(**V f**): 黄色固体, 收率 71%, m.p. 86.1~87.4 °C。<sup>1</sup>HNMR (400 MHz, DMSO-*d*<sub>6</sub>), δ: 7.99 (d, *J* = 7.6 Hz, 1H), 7.93 (d, *J* = 7.2 Hz, 1H), 7.76 (s, 1H), 7.68 (d, *J* = 8.4 Hz, 1H), 7.40 (d, *J* = 7.2 Hz, 1H), 7.36~7.34 (m, 1H), 7.30 (d, *J* = 4.4 Hz, 4H),

7.25~7.18 (m, 2H), 4.60 (t,  $J = 7.2$  Hz, 2H), 4.50 (s, 2H), 1.85~1.74 (m, 2H), 1.44~1.32 (m, 2H), 0.89 (t,  $J = 7.4$  Hz, 3H)。<sup>13</sup>CNMR (100 MHz, DMSO-*d*<sub>6</sub>),  $\delta$ : 139.5, 138.6, 137.7, 128.9, 128.9, 128.9, 126.9, 123.9, 123.0, 122.3, 120.4, 119.6, 117.0, 115.1, 110.5, 108.9, 107.3, 44.5, 32.9, 32.4, 20.0, 14.2。HRMS (ESI), C<sub>24</sub>H<sub>24</sub>N<sub>3</sub>, *m/Z*: [M+H]<sup>+</sup>理论值 354.1964, 测试值 354.1962。

3-[2-(甲硫基)乙基]-11-丁基-11*H*-咪唑并[1',5':1,2]吡啶并[3,4-*b*]吲哚 (Vg): 黄色固体, 收率 71%, m.p. 86.1~87.4 °C。<sup>1</sup>HNMR (400 MHz, DMSO-*d*<sub>6</sub>),  $\delta$ : 8.03 (d,  $J = 3.2$  Hz, 1H), 8.01 (d,  $J = 2.8$  Hz, 1H), 7.72 (s, 1H), 7.69 (d,  $J = 8.4$  Hz, 1H), 7.44 (d,  $J = 7.2$  Hz, 1H), 7.38~7.33 (m, 1H), 7.25~7.20 (m, 1H), 4.59 (t,  $J = 7.2$  Hz, 2H), 3.35 (t,  $J = 7.6$  Hz, 2H), 3.00 (t,  $J = 7.6$  Hz, 2H), 2.13 (s, 3H), 1.83~1.75 (m, 2H), 1.42~1.32 (m, 2H), 0.89 (t,  $J = 7.6$  Hz, 3H)。<sup>13</sup>CNMR (100 MHz, DMSO-*d*<sub>6</sub>),  $\delta$ : 139.5, 138.6, 128.9, 123.8, 123.1, 122.1, 120.4, 119.7, 116.8, 115.3, 110.5, 108.9, 107.2, 44.5, 32.4, 31.3, 27.1, 19.9, 15.2, 14.2。HRMS (ESI), C<sub>20</sub>H<sub>24</sub>N<sub>3</sub>S, *m/Z*: [M+H]<sup>+</sup>理论值 338.1685, 测试值 338.1685。

3-异丙基-11-丁基-11*H*-咪唑并[1',5':1,2]吡啶并[3,4-*b*]吲哚 (Vh): 黄色固体, 收率 78%, m.p. 141.8~143.1 °C。<sup>1</sup>HNMR (400 MHz, DMSO-*d*<sub>6</sub>),  $\delta$ : 8.02 (d,  $J = 7.6$  Hz, 1H), 7.99 (d,  $J = 7.2$  Hz, 1H), 7.69 (s, 1H), 7.67 (d,  $J = 8.4$  Hz, 1H), 7.42 (d,  $J = 7.2$  Hz, 1H), 7.37~7.33 (m, 1H), 7.25~7.20 (m, 1H), 4.59 (t,  $J = 7.2$  Hz, 2H), 3.58~3.50 (m, 1H), 1.84~1.76 (m, 2H), 1.44~1.33 (m, 2H), 1.38 (d,  $J = 6.8$  Hz, 6H), 0.90 (t,  $J = 7.2$  Hz, 3H)。<sup>13</sup>CNMR (100 MHz, DMSO-*d*<sub>6</sub>),  $\delta$ : 145.4, 138.6, 129.0, 123.7, 123.1, 122.0, 120.4, 119.6, 116.3, 115.1, 110.4, 108.8, 107.1, 44.5, 32.4, 25.9, 21.1, 20.0, 14.2。HRMS (ESI), C<sub>20</sub>H<sub>24</sub>N<sub>3</sub>, *m/Z*: [M+H]<sup>+</sup>理论值 306.1964, 测试值 306.1962。

3-仲丁基-11-丁基-11*H*-咪唑并[1',5':1,2]吡啶并[3,4-*b*]吲哚 (Vi): 黄色固体, 收率 76%, m.p. 95.0~96.3 °C。<sup>1</sup>HNMR (400 MHz, DMSO-*d*<sub>6</sub>),  $\delta$ : 8.01 (d,  $J = 7.6$  Hz, 2H), 7.71 (s, 1H), 7.68 (d,  $J = 8.0$  Hz, 1H), 7.40 (d,  $J = 7.6$  Hz, 1H), 7.37~7.32 (m, 1H), 7.22 (t,  $J = 7.6$  Hz, 1H), 4.58 (t,  $J = 7.2$  Hz, 2H), 3.42~3.34 (m, 1H), 1.96~1.87 (m, 1H), 1.85~1.75 (m, 2H), 1.73~1.64 (m, 1H), 1.44~1.36 (m, 2H), 1.35 (d,  $J = 6.8$  Hz, 3H), 0.90 (t,  $J = 7.2$  Hz, 3H), 0.84 (t,  $J = 7.2$  Hz, 3H)。<sup>13</sup>CNMR (100 MHz, DMSO-*d*<sub>6</sub>),  $\delta$ : 144.8, 138.6, 129.0, 123.7, 123.1, 121.8, 120.4, 119.6, 116.6, 115.1, 110.4, 108.7, 107.0, 44.5, 32.5, 32.4, 28.5, 20.0, 19.0, 14.2, 12.1。HRMS (ESI), C<sub>21</sub>H<sub>26</sub>N<sub>3</sub>, *m/Z*: [M+H]<sup>+</sup>理论值 320.2121, 测试值 320.2120。

1-(11-丁基-11*H*-咪唑并[1',5':1,2]吡啶并[3,4-*b*]吲哚-3-基)乙烷-1-醇 (Vj): 黄色固体, 收率 68%,

m.p. 131.5~132.8 °C。<sup>1</sup>HNMR (400 MHz, DMSO-*d*<sub>6</sub>),  $\delta$ : 8.18 (dd,  $J = 7.2$ 、0.8 Hz, 1H), 8.02 (d,  $J = 8.0$  Hz, 1H), 7.70 (d,  $J = 8.0$  Hz, 2H), 7.46 (d,  $J = 7.2$  Hz, 1H), 7.39~7.34 (m, 1H), 7.26~7.21 (m, 1H), 5.57 (d,  $J = 6.0$  Hz, 1H), 5.27~5.20 (m, 1H), 4.62 (t,  $J = 7.2$  Hz, 2H), 1.84~1.76 (m, 2H), 1.68 (d,  $J = 6.8$  Hz, 3H), 1.42~1.32 (m, 2H), 0.88 (t,  $J = 7.2$  Hz, 3H)。<sup>13</sup>CNMR (100 MHz, DMSO-*d*<sub>6</sub>),  $\delta$ : 143.0, 138.6, 128.7, 123.9, 123.0, 122.7, 120.4, 119.7, 116.2, 116.1, 110.5, 109.3, 106.9, 62.3, 44.5, 32.4, 21.7, 19.9, 14.2。HRMS (ESI), C<sub>19</sub>H<sub>22</sub>N<sub>3</sub>O, *m/Z*: [M+H]<sup>+</sup>理论值 308.1757, 测试值 308.1755。

3,11-二苄基-11*H*-咪唑并[1',5':1,2]吡啶并[3,4-*b*]吲哚 (Vk): 黄色固体, 收率 69%, m.p. 167.8~169.1 °C。<sup>1</sup>HNMR (400 MHz, DMSO-*d*<sub>6</sub>),  $\delta$ : 8.04 (d,  $J = 7.6$  Hz, 1H), 7.96 (d,  $J = 7.2$  Hz, 1H), 7.70 (d,  $J = 8.0$  Hz, 1H), 7.66 (d,  $J = 0.8$  Hz, 1H), 7.45 (d,  $J = 7.2$  Hz, 1H), 7.36~7.32 (m, 1H), 7.30~7.19 (m, 9H), 7.14~7.10 (m, 2H), 5.91 (s, 2H), 4.47 (s, 2H)。<sup>13</sup>CNMR (100 MHz, DMSO-*d*<sub>6</sub>),  $\delta$ : 139.5, 139.0, 138.1, 137.6, 129.2, 129.1, 128.9, 128.9, 127.7, 126.9, 126.7, 124.2, 123.2, 122.2, 120.8, 119.8, 117.3, 115.5, 110.7, 109.3, 107.3, 47.9, 32.8。HRMS (ESI), C<sub>27</sub>H<sub>22</sub>N<sub>3</sub>, *m/Z*: [M+H]<sup>+</sup>理论值 388.1808, 测试值 388.1809。

3-[2-(甲硫基)乙基]-11-苄基-11*H*-咪唑并[1',5':1,2]吡啶并[3,4-*b*]吲哚 (Vl): 黄色固体, 收率 73%, m.p. 134.6~135.8 °C。<sup>1</sup>HNMR (400 MHz, DMSO-*d*<sub>6</sub>),  $\delta$ : 8.08 (d,  $J = 7.6$  Hz, 1H), 8.04 (d,  $J = 7.2$  Hz, 1H), 7.70 (d,  $J = 8.0$  Hz, 1H), 7.63 (s, 1H), 7.49 (d,  $J = 7.2$  Hz, 1H), 7.37~7.32 (m, 1H), 7.30~7.23 (m, 3H), 7.23~7.18 (m, 1H), 7.13~7.08 (m, 2H), 5.90 (s, 2H), 3.32 (t,  $J = 7.6$  Hz, 2H), 2.96 (t,  $J = 7.6$  Hz, 2H), 2.11 (s, 3H)。<sup>13</sup>CNMR (100 MHz, DMSO-*d*<sub>6</sub>),  $\delta$ : 139.5, 139.0, 138.1, 129.2, 129.1, 127.6, 126.7, 124.1, 123.3, 122.0, 120.8, 119.8, 117.0, 115.7, 110.7, 109.3, 107.2, 47.8, 31.2, 27.1, 15.2。HRMS (ESI), C<sub>23</sub>H<sub>22</sub>N<sub>3</sub>S, *m/Z*: [M+H]<sup>+</sup>理论值 372.1528, 测试值 372.1529。

3-异丙基-11-苄基-11*H*-咪唑并[1',5':1,2]吡啶并[3,4-*b*]吲哚 (Vm): 黄色固体, 收率 74%, m.p. 202.1~203.3 °C。<sup>1</sup>HNMR (400 MHz, DMSO-*d*<sub>6</sub>),  $\delta$ : 8.07 (d,  $J = 7.6$  Hz, 1H), 8.02 (d,  $J = 7.2$  Hz, 1H), 7.70 (d,  $J = 8.4$  Hz, 1H), 7.59 (s, 1H), 7.47 (d,  $J = 7.2$  Hz, 1H), 7.36~7.32 (m, 1H), 7.30~7.18 (m, 4H), 7.15~7.09 (m, 2H), 5.89 (s, 2H), 3.57~3.46 (m, 1H), 1.35 (d,  $J = 6.8$  Hz, 6H)。<sup>13</sup>CNMR (100 MHz, DMSO-*d*<sub>6</sub>),  $\delta$ : 145.4, 139.0, 138.2, 129.3, 129.1, 127.6, 126.7, 124.0, 123.3, 121.8, 120.8, 119.7, 116.7, 115.4, 110.6, 109.1, 107.1, 47.8, 25.9, 21.1。HRMS (ESI), C<sub>23</sub>H<sub>22</sub>N<sub>3</sub>, *m/Z*: [M+H]<sup>+</sup>理论值 340.1808, 测试值 340.1807。

**3-异丁基-11-苯基-11H-咪唑并[1',5':1,2]吡啶并[3,4-b]吲哚 (Vn):** 黄色固体, 收率 69%, m.p. 197.6~199.0 °C。<sup>1</sup>H NMR (400 MHz, DMSO-*d*<sub>6</sub>), δ: 8.06 (d, *J* = 7.6 Hz, 1H), 8.00 (d, *J* = 7.6 Hz, 1H), 7.6 (d, *J* = 8.4 Hz, 1H), 7.61 (s, 1H), 7.45 (d, *J* = 7.6 Hz, 1H), 7.35~7.30 (m, 1H), 7.30~7.18 (m, 4H), 7.15~7.08 (m, 2H), 5.89 (s, 2H), 2.91 (d, *J* = 7.2 Hz, 2H), 2.18 (m, 1H), 0.96 (d, *J* = 6.8 Hz, 6H)。<sup>13</sup>C NMR (100 MHz, DMSO-*d*<sub>6</sub>), δ: 140.4, 139.0, 138.2, 129.3, 129.1, 127.6, 126.7, 124.0, 123.3, 121.8, 120.8, 119.7, 117.0, 115.7, 110.7, 109.1, 107.0, 47.8, 35.4, 27.4, 22.8。HRMS (ESI), C<sub>24</sub>H<sub>24</sub>N<sub>3</sub>, *m/Z*: [M+H]<sup>+</sup>理论值 354.1964, 测试值 354.1962。

**3-仲丁基-11-苯基-11H-咪唑并[1',5':1,2]吡啶并[3,4-b]吲哚 (Vo):** 黄色固体, 收率 70%, m.p. 168.1~169.4 °C。<sup>1</sup>H NMR (400 MHz, DMSO-*d*<sub>6</sub>), δ: 8.06 (d, *J* = 7.6 Hz, 1H), 8.04 (d, *J* = 7.6 Hz, 1H), 7.72~7.67 (d, *J* = 8.0 Hz, 1H), 7.61 (s, 1H), 7.45 (d, *J* = 7.2 Hz, 1H), 7.36~7.31 (m, 1H), 7.30~7.19 (m, 4H), 7.15~7.10 (m, 2H), 5.89 (s, 2H), 3.40~3.30 (m, 1H), 1.92~1.61 (m, 2H), 1.31 (d, *J* = 6.8 Hz, 3H), 0.85 (t, *J* = 7.2 Hz, 3H)。<sup>13</sup>C NMR (100 MHz, DMSO-*d*<sub>6</sub>), δ: 144.8, 139.0, 138.2, 129.4, 129.1, 127.7, 126.7, 124.0, 123.3, 121.7, 120.8, 119.7, 117.0, 115.4, 110.6, 109.1, 107.0, 47.8, 32.4, 28.4, 18.9, 12.1。HRMS (ESI), C<sub>24</sub>H<sub>24</sub>N<sub>3</sub>, *m/Z*: [M+H]<sup>+</sup>理论值 354.1964, 测试值 354.1962。

**1-(11-苯基-11H-咪唑并[1',5':1,2]吡啶并[3,4-b]吲哚-3-基)乙烷-1-醇 (Vp):** 黄色固体, 收率 69%, m.p. 197.6~199.0 °C。<sup>1</sup>H NMR (400 MHz, DMSO-*d*<sub>6</sub>), δ: 8.20 (d, *J* = 7.2 Hz, 1H), 8.07 (d, *J* = 8.0 Hz, 1H), 7.72 (d, *J* = 8.0 Hz, 1H), 7.61 (s, 1H), 7.50 (d, *J* = 7.2 Hz, 1H), 7.39~7.33 (m, 1H), 7.28~7.24 (m, 3H), 7.23~7.17 (m, 1H), 7.10 (d, *J* = 7.2 Hz, 2H), 5.92 (s, 2H), 5.55 (d, *J* = 6.0 Hz, 1H), 5.24~5.17 (m, 1H), 1.64 (d, *J* = 6.4 Hz, 3H)。<sup>13</sup>C NMR (100 MHz, DMSO-*d*<sub>6</sub>), δ: 143.0, 139.0, 138.1, 129.1, 129.0, 127.6, 126.7, 124.2, 123.2, 122.6, 120.8, 119.8, 116.6, 116.4, 110.7, 109.6, 106.9, 62.2, 47.8, 21.6。HRMS (ESI), C<sub>22</sub>H<sub>20</sub>N<sub>3</sub>O, *m/Z*: [M+H]<sup>+</sup>理论值 342.1600, 测试值 342.1600。

**3-苯基-11-(4-氟苯基)-11H-咪唑并[1',5':1,2]吡啶并[3,4-b]吲哚 (Vq):** 黄色固体, 收率 75%, m.p. 203.9~205.1 °C。<sup>1</sup>H NMR (400 MHz, DMSO-*d*<sub>6</sub>), δ: 8.25 (dd, *J* = 7.2、0.8 Hz, 1H), 8.10 (dt, *J* = 7.6、0.8 Hz, 1H), 7.92~7.83 (m, 3H), 7.76 (d, *J* = 8.4 Hz, 1H), 7.62~7.56 (m, 2H), 7.55~7.48 (m, 2H), 7.41~7.36 (m, 1H), 7.31~7.26 (m, 1H), 7.21~7.16 (m, 2H), 7.16~7.09 (m, 2H), 5.96 (s, 2H)。<sup>13</sup>C NMR (100 MHz, DMSO-*d*<sub>6</sub>), δ: 160.6 (d, *J* = 241.7 Hz), 139.7, 139.2, 134.3 (d, *J* = 2.9 Hz), 130.7, 129.4, 129.1, 129.0, 128.8, 128.7, 128.5, 124.5, 123.2 (d, *J* = 7.1 Hz), 121.0, 120.0, 119.1, 116.1 (d, *J* = 21.4 Hz), 115.7,

110.8, 110.2, 108.3, 47.2。HRMS (ESI), C<sub>26</sub>H<sub>19</sub>FN<sub>3</sub>, *m/Z*: [M+H]<sup>+</sup>理论值 392.1557, 测试值 392.1557。

**3-苯基-11-(3-苯基丙基)-11H-咪唑并[1',5':1,2]吡啶并[3,4-b]吲哚 (Vr):** 黄色固体, 收率 73%, m.p. 186.3~188.7 °C。<sup>1</sup>H NMR (400 MHz, DMSO-*d*<sub>6</sub>), δ: 7.99 (d, *J* = 7.6 Hz, 1H), 7.91 (d, *J* = 7.2 Hz, 1H), 7.63 (d, *J* = 8.0 Hz, 1H), 7.52 (s, 1H), 7.39 (d, *J* = 7.2 Hz, 1H), 7.37~7.32 (m, 1H), 7.31~7.26 (m, 6H), 7.24~7.18 (m, 5H), 4.60 (t, *J* = 7.6 Hz, 2H), 4.48 (s, 2H), 2.78 (t, *J* = 7.6 Hz, 2H), 2.15~2.07 (m, 2H)。<sup>13</sup>C NMR (100 MHz, DMSO-*d*<sub>6</sub>), δ: 141.6, 139.5, 138.5, 137.6, 128.9, 128.8, 128.7, 126.9, 126.4, 123.9, 123.1, 122.2, 120.5, 119.7, 116.8, 115.1, 110.3, 108.9, 107.3, 44.3, 32.9, 32.7, 31.9。HRMS (ESI), C<sub>29</sub>H<sub>26</sub>N<sub>3</sub>, *m/Z*: [M+H]<sup>+</sup>理论值 416.2121, 测试值 416.2122。

**3-[2-(甲硫基)乙基]-11-(3-苯基丙基)-11H-咪唑并[1',5':1,2]吡啶并[3,4-b]吲哚 (Vs):** 黄色固体, 收率 60%, m.p. 131.2~132.5 °C。<sup>1</sup>H NMR (400 MHz, DMSO-*d*<sub>6</sub>), δ: 8.04 (d, *J* = 7.6 Hz, 2H), 7.65 (d, *J* = 8.0 Hz, 1H), 7.55 (s, 1H), 7.47 (d, *J* = 7.2 Hz, 1H), 7.39~7.34 (m, 1H), 7.32~7.23 (m, 3H), 7.22~7.18 (m, 3H), 4.61 (t, *J* = 7.6 Hz, 2H), 3.35 (t, *J* = 7.6 Hz, 2H), 2.98 (t, *J* = 7.6 Hz, 2H), 2.76 (t, *J* = 7.6 Hz, 2H), 2.14~2.06 (m, 2H), 2.12 (s, 3H)。<sup>13</sup>C NMR (100 MHz, DMSO-*d*<sub>6</sub>), δ: 141.6, 139.4, 138.6, 128.8, 128.7, 128.7, 126.4, 124.0, 123.1, 122.1, 120.6, 119.8, 115.9, 115.4, 110.4, 109.1, 107.6, 44.3, 32.6, 32.0, 31.2, 27.0, 15.2。HRMS (ESI), C<sub>25</sub>H<sub>26</sub>N<sub>3</sub>S, *m/Z*: [M+H]<sup>+</sup>理论值 400.1841, 测试值 400.1843。

**3-异丙基-11-(3-苯基丙基)-11H-咪唑并[1',5':1,2]吡啶并[3,4-b]吲哚 (Vt):** 黄色固体, 收率 63%, m.p. 123.5~124.8 °C。<sup>1</sup>H NMR (400 MHz, DMSO-*d*<sub>6</sub>), δ: 8.02 (d, *J* = 8.0 Hz, 1H), 7.96 (d, *J* = 7.2 Hz, 1H), 7.63 (d, *J* = 8.0 Hz, 1H), 7.46 (s, 1H), 7.40 (d, *J* = 7.6 Hz, 1H), 7.37~7.32 (m, 1H), 7.32~7.26 (m, 2H), 7.25~7.19 (m, 4H), 4.59 (t, *J* = 7.6 Hz, 2H), 3.55~3.47 (m, 1H), 2.77 (t, *J* = 7.6 Hz, 2H), 2.15~2.06 (m, 2H), 1.36 (d, *J* = 6.8 Hz, 6H)。<sup>13</sup>C NMR (100 MHz, DMSO-*d*<sub>6</sub>), δ: 145.5, 141.5, 138.5, 128.9, 128.8, 128.7, 126.4, 123.8, 123.1, 121.9, 120.4, 119.7, 116.2, 115.1, 110.3, 108.8, 107.0, 44.3, 32.7, 31.9, 25.9, 21.1。HRMS (ESI), C<sub>25</sub>H<sub>26</sub>N<sub>3</sub>, *m/Z*: [M+H]<sup>+</sup>理论值 368.2121, 测试值 368.2121。

**3-异丁基-11-(3-苯基丙基)-11H-咪唑并[1',5':1,2]吡啶并[3,4-b]吲哚 (Vu):** 黄色固体, 收率 61%, m.p. 98.3~99.6 °C。<sup>1</sup>H NMR (400 MHz, DMSO-*d*<sub>6</sub>), δ: 8.00 (d, *J* = 7.6 Hz, 1H), 7.94 (d, *J* = 7.2 Hz, 1H), 7.61 (d, *J* = 8.0 Hz, 1H), 7.47 (s, 1H), 7.38 (d, *J* = 7.2 Hz, 1H), 7.36~7.31 (m, 1H), 7.30~7.25 (m, 2H), 7.24~7.17 (m, 4H), 4.58 (t, *J* = 7.6 Hz, 2H), 2.91 (d, *J* = 7.2 Hz, 2H), 2.75 (t, *J* =

7.6 Hz, 2H), 2.23~2.16 (m, 1H), 2.15~2.05 (m, 2H), 0.95 (d,  $J = 6.8$  Hz, 6H)。 $^{13}\text{CNMR}$  (100 MHz, DMSO- $d_6$ ),  $\delta$ : 141.5, 140.5, 138.5, 128.9, 128.8, 128.7, 126.4, 123.8, 123.1, 121.8, 120.5, 119.6, 116.5, 115.3, 110.3, 108.7, 107.1, 44.3, 35.4, 32.6, 31.9, 27.5, 22.8。HRMS (ESI),  $C_{26}\text{H}_{28}\text{N}_3$ ,  $m/Z$ : [M+H]<sup>+</sup> 理论值 382.2277, 测试值 382.2275。

3-仲丁基-11-(3-苯基丙基)-11H-咪唑并[1',5':1,2]吡啶并[3,4-b]吲哚 (Vv): 黄色固体, 收率 75%, m.p. 116.1~117.4 °C。 $^1\text{HNMR}$  (400 MHz, DMSO- $d_6$ ),  $\delta$ : 8.01 (dd,  $J = 7.6, 5.2$  Hz, 2H), 7.64 (d,  $J = 8.0$  Hz, 1H), 7.49 (s, 1H), 7.40 (d,  $J = 7.2$  Hz, 1H), 7.37~7.31 (m, 1H), 7.30~7.27 (m, 2H), 7.25~7.18 (m, 4H), 4.59 (t,  $J = 7.6$  Hz, 2H), 3.40~3.31 (m, 1H), 2.78 (t,  $J = 7.6$  Hz, 2H), 2.15~2.07 (m, 2H), 1.94~1.63 (m, 2H), 1.33 (d,  $J = 6.8$  Hz, 3H), 0.86 (t,  $J = 7.2$  Hz, 3H)。 $^{13}\text{CNMR}$  (100 MHz, DMSO- $d_6$ ),  $\delta$ : 144.8, 141.6, 138.5, 129.0, 128.8, 128.7, 126.4, 123.8, 123.1, 121.7, 120.4, 119.7, 116.5, 115.1, 110.3, 108.7, 107.05, 44.3, 32.7, 32.4, 32.0, 28.5, 19.0, 12.1。HRMS (ESI),  $C_{26}\text{H}_{28}\text{N}_3$ ,  $m/Z$ : [M+H]<sup>+</sup> 理论值 382.2277, 测试值 382.2276。

1-{11-(3-苯基丙基)-11H-咪唑并[1',5':1,2]吡啶并[3,4-b]吲哚-3-基}乙烷-1-醇 (Vw): 黄色固体, 收率 74%, m.p. 167.5~169.8 °C。 $^1\text{HNMR}$  (400 MHz, DMSO- $d_6$ ),  $\delta$ : 8.16 (d,  $J = 7.6$  Hz, 1H), 8.02 (d,  $J = 8.0$  Hz, 1H), 7.65 (d,  $J = 8.4$  Hz, 1H), 7.47~7.42 (m, 2H), 7.39~7.34 (m, 1H), 7.32~7.27 (m, 2H), 7.26~7.18 (m, 4H), 5.55 (d,  $J = 6.0$  Hz, 1H), 5.25~5.18 (m, 1H), 4.62 (t,  $J = 7.6$  Hz, 2H), 2.76 (t,  $J = 7.6$  Hz, 2H), 2.14~2.06 (m, 2H), 1.66 (d,  $J = 6.8$  Hz, 3H)。 $^{13}\text{CNMR}$  (100 MHz, DMSO- $d_6$ ),  $\delta$ : 143.0, 141.6, 138.5, 128.8, 128.7, 128.6, 126.4, 124.0, 123.1, 122.6, 120.5, 119.8, 116.2, 115.9, 110.4, 109.3, 106.9, 62.3, 44.3, 32.7, 32.0, 21.7。HRMS (ESI),  $C_{24}\text{H}_{24}\text{N}_3\text{O}$ ,  $m/Z$ : [M+H]<sup>+</sup> 理论值 370.1913, 测试值 370.1914。

### 1.3 体外抗肿瘤活性测试

将 Bel-7402、A-549、CT-26、MCF-7 和 BGC-823 5 株细胞作为待测细胞株, 用 MTT 法对目标化合物进行体外抗肿瘤活性测试, 以顺铂和索拉非尼作为阳性对照组<sup>[30]</sup>。实验分为空白组 (无细胞的等量 RPMI-1640 培养基)、对照组 (未经处理的细胞和含体积分数 1% DMSO 的 RPMI-1640 培养基) 和样品组 (药物浓度为 0.3125、0.625、1.25、2.5、5、10、20  $\mu\text{mol/L}$ )。取对数生长期细胞接种于 96 孔板, 置于 CO<sub>2</sub> 培养箱中培养 24 h。加入 60  $\mu\text{L}$  RPMI-1640 培养液, 然后按预设的浓度梯度加入待测样品 40  $\mu\text{L}$ 。对照组加入等体积的质量分数为 4% 的 DMSO。继续培养 48 h 后, 每孔加入 20  $\mu\text{L}$  的 MTT (质量浓度为 5 g/L), 然后置于 37 °C 温育 4 h。小心除去上清液后, 每孔加入 100  $\mu\text{L}$  DMSO, 振荡约 10 min 溶解沉

淀, 随后用酶标仪检测溶液在波长 490 nm 处的光密度 (OD) 值。并通过式 (1) 求出每个样品浓度下的细胞存活率。

$$\text{细胞存活率\%} = (\text{样品组平均 OD 值} - \text{空白孔 OD 值}) / (\text{对照组平均 OD 值} - \text{空白孔 OD 值}) \times 100 \quad (1)$$

以细胞存活率与药物质量浓度的对数作图, 按作图法求出每个样品的药物半数抑制浓度 ( $IC_{50}$ )。

## 2 结果与讨论

### 2.1 化合物的合成

首先, 以 L-色氨酸为原料, 经过 Pictet-Spengler 反应、氧化脱羧脱氢得到 1-甲基-β-咔啉 (II), 随后在 DMF 为溶剂、NaH 存在下发生  $N^9$ -烷基化反应, 得到中间体 IIIa~d; 然后在无水 1,4-二氧六环中被 SeO<sub>2</sub> 氧化, 得到关键中间体 1-甲酰基-β-咔啉 (IVa~d)<sup>[32]</sup>。上述中间体的制备反应条件温和, 且产率颇高, 后处理相对简单。目标化合物 V a~w 的合成过程中, 尝试采用不同溶剂和催化剂进行, 最后在 I<sub>2</sub> 和碳酸氢钠存在下, 与 α-氨基酸反应, 可以在 β-咔啉环的 1-位和 2-位形成一个咪唑环, 得到一系列 β-咔啉  $N^2$ -杂合咪唑衍生物, 反应收率在 50%~80% 之间。

### 2.2 化合物 Vq 的晶体结构测定

课题组前期的研究中发现, β-咔啉  $N^9$  位有 4-氟苄基取代时, 能提高该类型化合物的抗肿瘤活性<sup>[30]</sup>。而化合物 Vq 的  $N^9$  位连接了 4-氟苄基, 因此, 将该化合物溶于丙酮, 微孔滤膜过滤, 室温下挥发结晶, 得到无色块状晶体。选择晶体尺寸为 0.19 mm×0.17 mm×0.14 mm, 将晶体置于单晶 X 射线衍射仪上, 用石墨单色器单色化的 Mo K<sub>a</sub> 射线辐射为光源, 确定了化合物 Vq 的晶体结构如图 1 所示。晶体学数据已存放在剑桥晶体学数据中心 (CCDC), Vq 的晶体编号为 2075889。



图 1 化合物 Vq 的晶体结构  
Fig. 1 Crystal structure of compound Vq

X 射线单晶衍射分析结果表明, 化合物 Vq 的分子式为  $C_{26}\text{H}_{18}\text{FN}_3$ , 相对分子质量 ( $M_r$ ) = 391.43, 属于三斜晶系, 空间群为  $P-1$ 。晶胞参数:  $a=0.6053(3)$

$a=107.633(13)^\circ$ 、 $\beta=91.06(2)^\circ$ 、 $\gamma=97.49(3)^\circ$ ,  $V=0.9369(13)$  nm<sup>3</sup>,  $Z=2$ ;  $D_c=1.388$  g/cm<sup>3</sup>,  $\mu=0.090$  mm<sup>-1</sup>,  $F(000)=408.0$ 。晶体结构修正后最终的一致性因子  $R_1=0.0619$  [ $I \geq 2\sigma(I)$ ],  $wR_2$  (威廉指标中的黄

色线) = 0.1306, GOF (拟合优度) = 1.064, 精修的参数为 271 个。

### 2.3 体外抗肿瘤活性分析

测试了目标化合物 V<sub>a</sub>~V<sub>w</sub> 的体外抗肿瘤活性, 初步抑制活性测试结果如表 1 所示。

表 1 化合物对 5 种癌细胞株的体外抗肿瘤活性  
Table 1 *In vitro* anticancer activities of compounds against five cancer cell lines

化合物	R'	R	IC <sub>50</sub> ±SD <sup>①</sup> /(μmol/L)				
			A-549	BGC-823	CT-26	Bel-7402	MCF-7
V <sub>a</sub>	CH <sub>3</sub>	CH <sub>2</sub> Ph	14.1±1.3	25.9±1.2	5.2±0.4	17.3±0.9	21.7±0.4
V <sub>b</sub>	CH <sub>3</sub>	CH <sub>2</sub> CH <sub>2</sub> SCH <sub>3</sub>	30.5±1.3	22.3±1.8	18.4±0.7	14.4±0.5	20.1±1.2
V <sub>c</sub>	CH <sub>3</sub>	CH(CH <sub>3</sub> ) <sub>2</sub>	27.5±1.4	37.6±1.2	24.6±0.9	31.5±1.4	26.5±0.7
V <sub>d</sub>	CH <sub>3</sub>	CH <sub>2</sub> CH(CH <sub>3</sub> ) <sub>2</sub>	70.1±3.4	34.3±3.6	18.3±1.2	10.1±0.9	41.9±2.4
V <sub>e</sub>	CH <sub>3</sub>	CH(CH <sub>3</sub> )CH <sub>2</sub> CH <sub>3</sub>	24.6±0.5	33.5±1.9	43.3±2.7	34.5±2.6	43.6±4.2
V <sub>f</sub>	n-C <sub>4</sub> H <sub>9</sub>	CH <sub>2</sub> Ph	19.8±1.1	19.7±0.9	6.5±0.3	11.9±0.7	16.9±0.6
V <sub>g</sub>	n-C <sub>4</sub> H <sub>9</sub>	CH <sub>2</sub> CH <sub>2</sub> SCH <sub>3</sub>	32.7±1.4	24.2±1.4	19.2±1.4	21.6±1.3	ND <sup>②</sup>
V <sub>h</sub>	n-C <sub>4</sub> H <sub>9</sub>	CH(CH <sub>3</sub> ) <sub>2</sub>	34.1±2.6	25.9±2.7	35.2±1.3	17.3±0.6	41.7±2.9
V <sub>i</sub>	n-C <sub>4</sub> H <sub>9</sub>	CH(CH <sub>3</sub> )CH <sub>2</sub> CH <sub>3</sub>	37.4±1.2	47.2±2.6	62.2±3.9	17.5±1.6	73.1±2.8
V <sub>j</sub>	n-C <sub>4</sub> H <sub>9</sub>	CH(OH)CH <sub>3</sub>	15.6±0.8	24.5±0.8	31.6±2.8	50.5±3.2	18.3±0.9
V <sub>k</sub>	CH <sub>2</sub> Ph	CH <sub>2</sub> Ph	19.2±1.3	14.9±0.7	24.5±1.6	18.2±0.6	16.1±0.7
V <sub>l</sub>	CH <sub>2</sub> Ph	CH <sub>2</sub> CH <sub>2</sub> SCH <sub>3</sub>	21.1±0.7	19.6±1.3	4.9±0.5	25.2±1.2	6.2±0.4
V <sub>m</sub>	CH <sub>2</sub> Ph	CH(CH <sub>3</sub> ) <sub>2</sub>	25.3±0.5	25.4±1.4	16.2±0.5	14.6±0.3	30.3±0.9
V <sub>n</sub>	CH <sub>2</sub> Ph	CH <sub>2</sub> CH(CH <sub>3</sub> ) <sub>2</sub>	15.1±0.6	18.3±1.2	10.2±0.4	13.9±0.7	6.7±0.2
V <sub>o</sub>	CH <sub>2</sub> Ph	CH(CH <sub>3</sub> )CH <sub>2</sub> CH <sub>3</sub>	17.4±0.5	58.7±3.2	43.7±3.6	17.3±0.3	17.5±0.4
V <sub>p</sub>	CH <sub>2</sub> Ph	CH(OH)CH <sub>3</sub>	20.5±1.4	24.2±1.3	15.3±0.8	12.1±0.6	11.8±0.4
V <sub>q</sub>	CH <sub>2</sub> Ph( <i>p</i> -F)	Ph	12.9±0.8	9.7±0.4	19.6±1.2	29.4±0.7	16.2±0.7
V <sub>r</sub>	(CH <sub>2</sub> ) <sub>3</sub> Ph	CH <sub>2</sub> Ph	21.8±0.7	14.5±0.7	9.5±0.4	7.4±0.3	8.8±0.6
V <sub>s</sub>	(CH <sub>2</sub> ) <sub>3</sub> Ph	CH <sub>2</sub> CH <sub>2</sub> SCH <sub>3</sub>	17.2±0.7	11.6±0.5	ND	18.2±0.9	ND
V <sub>t</sub>	(CH <sub>2</sub> ) <sub>3</sub> Ph	CH(CH <sub>3</sub> ) <sub>2</sub>	12.9±1.3	9.1±0.5	23.6±0.9	33.7±1.4	18.1±1.2
V <sub>u</sub>	(CH <sub>2</sub> ) <sub>3</sub> Ph	CH <sub>2</sub> CH(CH <sub>3</sub> ) <sub>2</sub>	16.9±0.7	19.2±1.3	8.4±0.4	17.4±0.5	19.2±0.7
V <sub>v</sub>	(CH <sub>2</sub> ) <sub>3</sub> Ph	CH(CH <sub>3</sub> )CH <sub>2</sub> CH <sub>3</sub>	12.2±0.6	11.2±0.7	8.9±0.6	14.2±0.7	9.7±0.6
V <sub>w</sub>	(CH <sub>2</sub> ) <sub>3</sub> Ph	CH(OH)CH <sub>3</sub>	18.4±0.8	13.4±0.7	17.2±2.3	37.6±2.5	13.7±1.2
顺铂			15.8±2.4	8.4±0.7	4.2±0.7	15.4±1.9	10.5±2.3
索拉非尼			2.6±0.3	3.1±0.2	1.9±0.2	4.4±0.3	5.8±0.3

①TT 法进行测定, 每组进行 3 个平行实验, 实验数据为平均值±SD 值 (标准误差); ②ND 代表没有测试。

由表 1 可以看出, 制备的大多数化合物对测试的癌细胞株表现出中等至优异的生长抑制活性。细胞毒性活性的研究表明, 化合物 V<sub>l</sub> 是所有测试化合物中对 CT-26 和 MCF-7 癌细胞 [IC<sub>50</sub> 分别为 (4.9±0.5) 和 (6.2±0.4) μmol/L] 最有效的化合物。在咪唑环中有苄基取代、 $\beta$ -咔啉环 9-位为 3-苯基丙基取代的化合物 V<sub>r</sub>, 对 CT-26、Bel-7402 和 MCF-7 表现出较高的细胞毒性活性, IC<sub>50</sub> 分别为 (9.5±0.4)、(7.4±0.3) 和 (8.8±0.6) μmol/L。对于 A-549 细胞系, 大多数化合物 (V<sub>d</sub> 除外) 均表现出中等至弱的细胞毒性活性, IC<sub>50</sub> 为 (12.2±0.6)~(37.4±1.2) μmol/L, 这些化合物的活性与标准药物顺铂相似。然而, 与

索拉非尼相比, 这些化合物显示出较弱的细胞毒性。对于 Bel-7402 细胞系, 大多数受试化合物 (V<sub>r</sub> 和 V<sub>j</sub> 除外) 均表现出中等的细胞毒性活性, IC<sub>50</sub> 为 (10.1±0.9)~(37.6±2.5) μmol/L。对于 BGC-823 细胞系, 大多数化合物 (V<sub>q</sub> 和 V<sub>t</sub> 除外) 表现出中等至弱的细胞毒性活性, IC<sub>50</sub> 为 (11.2±0.7)~(47.2±2.6) μmol/L。对于 CT-26 细胞系, 3 种化合物 V<sub>a</sub>、V<sub>f</sub>、V<sub>l</sub> 显示出与顺铂相似的细胞毒性, 但低于索拉非尼, 而其余化合物显示出较弱的细胞毒性活性。对 BGC-823 细胞系的细胞毒性评估显示, 化合物 V<sub>q</sub> 和 V<sub>t</sub> 表现出显著的细胞毒性活性, IC<sub>50</sub> 低于 10 μmol/L。化合物 V<sub>f</sub>、V<sub>k</sub>、V<sub>l</sub>、V<sub>n</sub>、V<sub>r</sub>、V<sub>s</sub>

和  $V_u \sim V_w$  [  $IC_{50}$  为  $(11.2 \pm 0.7) \sim (19.7 \pm 0.9) \mu\text{mol/L}$  ] 表现出中等的细胞毒性。化合物  $V_a \sim V_e$ 、 $V_g \sim V_j$ 、 $V_m$ 、 $V_o$  和  $V_p$  显示出低细胞毒性,  $IC_{50}$  为  $(22.3 \pm 1.8) \sim (58.7 \pm 3.2) \mu\text{mol/L}$ 。对于 CT-26 癌症细胞, 6 种  $\beta$ -咔啉  $N^2$ -杂合咪唑衍生物 ( $V_a$ 、 $V_f$ 、 $V_1$ 、 $V_r$ 、 $V_u$  和  $V_v$ ) 表现出较强的活性 ( $IC_{50} < 10 \mu\text{mol/L}$ )。抗肿瘤活性最好的化合物是  $V_1$  [ $IC_{50} = (4.9 \pm 0.5) \mu\text{mol/L}$ ], 其活性与顺铂相似, 但仍不如索拉非尼。就 MCF-7 癌症细胞而言, 4 种  $\beta$ -咔啉  $N^2$ -杂合咪唑衍生物 ( $V_1$ 、 $V_r$ 、 $V_n$  和  $V_v$ ) 表现出较强的活性 ( $IC_{50} < 10.5 \mu\text{mol/L}$ )。

构效关系表明, 在咪唑环的  $N^9$  位连有甲基、正丁基或 3-苯基丙基取代基的一系列化合物中, R 取代基为苄基的化合物  $V_a$ 、 $V_f$  和  $V_r$  对测试的人类肿瘤细胞系显示出更高的细胞毒性活性。在电子效应方面, 当  $\beta$ -咔啉环的 9-位取代基为甲基、正丁基等给电子基团时, R 取代基也为给电子基团时, 其

抗肿瘤活性显著提高。空间位阻效应对该类化合物影响较小。R 取代基为仲丁基的化合物  $V_v$  对 A-549、Bel-7402 和 MCF-7 癌细胞显示出较高的细胞毒活性,  $IC_{50}$  分别为  $(12.2 \pm 0.6)$ 、 $(14.2 \pm 0.7)$  和  $(9.7 \pm 0.6) \mu\text{mol/L}$ 。

#### 2.4 分子对接

分子对接主要强调的是结构和能量是否匹配。因为配体和受体在对接过程中会由于氢键、 $\pi-\pi$  相互作用等而产生构象或者构型的变化。其次, 分子对接还遵循能量最低原则, 即对接过程中需要的能量值越低, 二者之间也容易结合并且结合得越好, 能量值越高, 说明二者之间结合强度很低, 越不容易结合配对。

从 Protein Data Bank 库里下载 VEGFR2 受体的三维晶体结构(4ASD)PDB 文件, 选取体外活性较好的化合物  $V_a$ 、 $V_f$  和  $V_r$ , 利用 OpenEye 程序的 Vida 模块对这 3 种化合物进行结构优化处理与模块分子对接, 对接结果如图 2 所示。

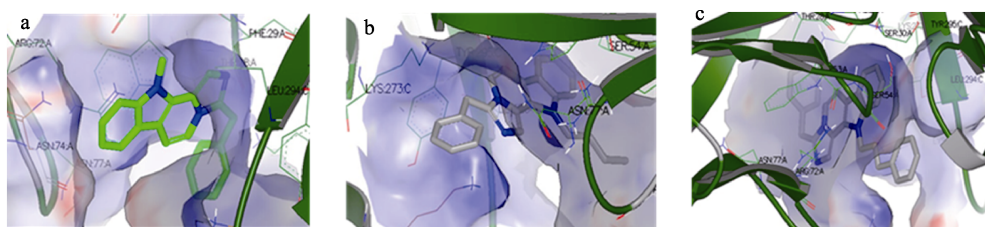


图 2 化合物  $V_a$  (a)、 $V_f$  (b) 和  $V_r$  (c) 与受体对接  
Fig. 2 Docking of compounds  $V_a$ (a),  $V_f$ (b) and  $V_r$ (c) to receptor

通过分子对接结果发现, 3 种化合物与 VEGFR2 激酶的多个氨基酸残基具有良好的结合作用, 在与 ASN77、ASN74、SER54、THR28、LYS273、LEU294 和 TRY295 等残基形成的空腔中结合位点活性最大。此外, 连接到咪唑环上的芳基部分形成了由 LEU253、LYS273 和 LEU294 组成的疏水口袋, 显示这些化合物是通过疏水相互作用与 VEGFR2 激酶对接。其中, 化合物  $V_r$  是潜在的 VEGFR2 抑制剂, 其结合能为  $-11.16 \text{ kcal/mol}$  ( $1 \text{ cal}=4.19 \text{ J}$ )。所提出的化合物  $V_a$  和  $V_f$  的结合模式实际上与  $V_r$  相同, 其结合能分别为  $-10.92$  和  $-11.12 \text{ kcal/mol}$ 。

### 3 结论

为了寻找高效低毒抗肿瘤化合物, 设计并合成了 23 个  $\beta$ -咔啉  $N^2$ -杂合咪唑衍生物, 利用  $^1\text{H}$ NMR、 $^{13}\text{CNMR}$  和 HRMS 证实了目标化合物的结构。运用 MTT 法测定了目标化合物对 5 种肿瘤细胞系 (A-549、BGC-823、CT-26、Bel-7402 和 MCF-7) 的体外抗肿瘤活性。结果表明, 大多数化合物显示出中等至优异的抗肿瘤活性。其中, 化合物  $V_r$  对

CT-26、Bel-7402 和 MCF-7 细胞系表现出优异的抗肿瘤活性,  $IC_{50}$  分别为  $(9.5 \pm 0.4)$ 、 $(7.4 \pm 0.3)$  和  $(8.8 \pm 0.6) \mu\text{mol/L}$ ; 分子对接表明, 化合物  $V_a$ 、 $V_f$  和  $V_r$  是通过疏水相互作用与 VEGFR2 激酶对接。其中,  $V_r$  是潜在的 VEGFR2 抑制剂, 其结合能为  $-11.16 \text{ kcal/mol}$ 。上述结果表明, 该类化合物对人体肿瘤细胞表现出较好的抑制活性, 后续可在  $\beta$ -咔啉环的 3 位引入适当的取代基来提高其抗肿瘤活性。

#### 参考文献:

- [1] BRAY F, FERLAY J, SOERJOMATARAM I, et al. Global cancer statistics 2018: GLOBOCAN estimates of incidence and mortality worldwide for 36 cancers in 185 countries[J]. CA-A Cancer Journal for Clinicians, 2018, 68: 394-424.
- [2] PAREKH A, DAS S, DAS C K, et al. Progressing towards a human-centric approach in cancer research[J]. Frontiers in Oncology, 2022, 12: 896633.
- [3] DAI Y X, CAI X G, BI X Z, et al. Synthesis and anti-cancer evaluation of folic acid-peptide-paclitaxel conjugates for addressing drug resistance[J]. European Journal of Medicinal Chemistry, 2019, 171: 104-115.
- [4] SONG X Q, LIU R P, WANG S Q, et al. Anticancer melatplatin prodrugs: High effect and low toxicity, MT1-ER-target and immune response *in vivo*[J]. Journal of Medicinal Chemistry, 2020, 63: 6096-6106.
- [5] LUO B, SONG X Q. A comprehensive overview of  $\beta$ -carbolines and

- its derivatives as anticancer agents[J]. European Journal of Medicinal Chemistry: Chimie Therapeutique, 2021, 224: 113688.
- [6] LING Y, FENG J, LUO L, et al. Design and synthesis of C3-substituted  $\beta$ -carboline-based histone deacetylase inhibitors with potent antitumor activities[J]. ChemMedChem, 2017, 12(9): 646-651.
- [7] AKABLI T, TOUFIK H, YASRI A, et al. Combining ligand-based and structure-based drug design approaches to study the structure-activity relationships of a  $\beta$ -carboline derivative series[J]. Structural Chemistry, 2018, 29: 1637-1645.
- [8] BRAND G, GOMES C M B, COSTA W F, et al. Synthesis and antitumor activity of novel 1-substituted 3-(4,5-substituted 1,2,4-triazol-3-yl)- $\beta$ -carbolines derivatives[J]. Synthesis, 2019, 51(2): 573-577.
- [9] JEVAPAL G P, KRISHNASAMY R, SUZUKI C K, et al. In-silico design and synthesis of  $N^{\beta}$ -substituted  $\beta$ -carbolines as PLK-1 inhibitors and their *In-vitro/in-vivo* tumor suppressing evaluation[J]. Bioorganic Chemistry, 2019, 88: 102913.
- [10] ASHOK P, CHANDER S, BALZARINI J, et al. Design, synthesis of new  $\beta$ -carboline derivatives and their selective anti-HIV-2 activity[J]. Bioorganic & Medicinal Chemistry Letters, 2015, 25(6): 1232-1235.
- [11] GORKI V, SINGH R, WALTER N S, et al. Synthesis and evaluation of antiplasmodial efficacy of  $\beta$ -carboline derivatives against murine malaria[J]. ACS Omega, 2018, 3(10): 13200-13210.
- [12] CHATWICHEN J, BASU S, MURPHY M E, et al. Design, synthesis, and biological evaluation of  $\beta$ -carboline dimers based on the structure of neokauluamine[J]. Tetrahedron Letters, 2015, 56(23): 3515-3517.
- [13] LAINE A E, LOOD C, KOSKINEN A M. Pharmacological importance of optically active tetrahydro- $\beta$ -carbolines and synthetic approaches to create the C1 stereocenter[J]. Molecules, 2014, 19(2): 1544-1567.
- [14] KHAN H, PATEL S, KAMAL M A. A current perspective on the inhibition of cholinesterase by natural and synthetic inhibitors[J]. Current Drug Metabolism, 2017, 18(2): 96-111.
- [15] SAINI K, SINGH J, SHAH R, et al. Synthesis of 1-(4-hydroxy-3-methoxyphenyl)-2,3,4,9-tetrahydro-1*H*- $\beta$ -carboline-3-carboxylic acid derivatives as mast cell stabilizers[J]. Medicinal Chemistry Research, 2020, 29(8): 1400-1412.
- [16] FOLEY C A, AL-ISSA Y A, HILLER K P, et al. Synthesis and structure-activity relationships of 1-aryl- $\beta$ -carbolines as affinity probes for the 5-hydroxytryptamine receptor[J]. ACS Omega, 2019, 4(6): 9807-9812.
- [17] LU X, LIU Y C, ORVIG C, et al. Discovery of  $\beta$ -carboline copper(II) complexes as Mcl-1 inhibitor and *in vitro* and *in vivo* activity in cancer models[J]. European Journal of Medicinal Chemistry, 2019, 181: 111567.
- [18] GUAN H J, CHEN H S, PENG W L, et al. Design of  $\beta$ -carboline derivatives as DNA-targeting antitumor agents[J]. European Journal of Medicinal Chemistry, 2006, 41(10): 1167-1179.
- [19] FUNAYAMA Y, NISHIO K, WAKABAYASHI K, et al. Effects of  $\beta$ - and  $\gamma$ -carboline derivatives on DNA topoisomerase activities[J]. Mutation Research, 1996, 349(2): 183-191.
- [20] LU D H, QU L L, WANG C, et al. Harmine-based dual inhibitors targeting histone deacetylase (HDAC) and DNA as a promising strategy for cancer therapy[J]. Bioorganic Chemistry, 2022, 120: 105604.
- [21] CASTRO A C, DANG L C, SOUCY F, et al. Novel IKK inhibitors:  $\beta$ -carbolines[J]. Bioorganic & Medicinal Chemistry Letters, 2003, 13(14): 2419-2422.
- [22] LI D P, LIU W W, HUANG Y G, et al. Facile synthesis of C1-substituted  $\beta$ -carbolines as CDK4 inhibitors for the treatment of cancer[J]. Bioorganic Chemistry, 2022, 121: 105659.
- [23] DIGHE S U, KHAN S, SONI I, et al. Synthesis of  $\beta$ -carboline-based *N*-heterocyclic carbenes and their antiproliferative and antimetastatic activities against human breast cancer cells[J]. Journal of Medicinal Chemistry, 2015, 58(8): 3485-3499.
- [24] CHANIYARA R, TALA S, CHEN C W, et al. Novel antitumor indolizino[6,7-*b*]indoles with multiple modes of action: DNA cross-linking and topoisomerase I and II inhibition[J]. Journal of Medicinal Chemistry, 2013, 56(4): 1544-1563.
- [25] CHEN X D, XU W W, WANG K, et al. Discovery of a novel series of imidazo[1,2-*a*]pyrimidine derivatives as potent and orally bioavailable lipoprotein-associated phospholipase A2 inhibitors[J]. Journal of Medicinal Chemistry, 2015, 58(21): 8529-8541.
- [26] STASYUK A J, BANASIEWICZ M, CYRANSKI M K, et al. Imidazo[1,2-*a*]pyridines susceptible to excited state intramolecular proton transfer: One-pot synthesis *via* an ortoleva-king reaction[J]. Journal of Organic Chemistry, 2012, 77(13): 5552-5558.
- [27] SHARMA M, PRASHER P. C2-functionalized imidazo[1,2-*a*]pyridine: Synthesis and medicinal relevance[J]. Synthetic Communications, 2022, 52: 1337-1356.
- [28] DENG J J, LIU L, GE Y, et al. Synthesis and evaluation of imidazo[1,2-*a*]pyrazine derivatives as small molecule Gaq/11 inhibitors against uveal melanoma[J]. European Journal of Medicinal Chemistry, 2022, 239: 114520.
- [29] SUN Y, GUO L, FAN W X, et al. Synthesis, crystal structure and antitumor activity of novel 5-chloro- $\beta$ -carboline derivatives[J]. Chinese Journal of Organic Chemistry, 2021, 41(1): 400-406.
- [30] ZHU S Y, CHEN X F, LI M, et al. Multicomponent synthesis of novel  $\beta$ -carboline-fused imidazolium derivatives *via* the Mannich reaction: Cytotoxicity, molecular docking, and mechanistic studies as angiogenesis inhibitors[J]. New Journal of Chemistry, 2022, 46(9): 4427-4435.
- [31] SUN Y (孙跃), HUO X Y (霍新玉), WANG Z X (王兆旭), et al. Synthesis and biological activity of bis- $\beta$ -carboline derivatives containing benzimidazole structural unit[J]. Fine Chemicals(精细化工), 2020, 37(8): 1672-1677.
- [32] GUO L, MA Q, CHEN W, et al. Synthesis and biological evaluation of novel  $N^{\beta}$ -heterobivalent  $\beta$ -carbolines as angiogenesis inhibitors[J]. Journal of Enzyme Inhibition and Medicinal Chemistry, 2019, 34(1): 375-387.